

Trakea Rekonstrüksiyonunda Ksifoid Kıkırdak, Tiroid ve Auriküla Kıkırdak Graftlerinin Histolojik Analizle Karşılaştırılması: Tavşan Modeli

Comparison of Xiphoid, Thyroid and Auricular Cartilage Grafting in Tracheal Reconstruction for Histological Analysis: The Rabbit Model

Dr. Cansel ATINKAYA,^a
Dr. Osman Kürşat ARIKAN,^b
Dr. Oğuzhan DİKİCİ,^b
Dr. Erkan DİKMEN^a

^aGöğüs Cerrahisi AD,
^bKBB-BBC AD,
Kırıkkale Üniversitesi Tıp Fakültesi,
KIRIKKALE

Yazışma Adresi/Correspondence:
Dr. Cansel ATINKAYA
Kırıkkale Üniversitesi Tıp Fakültesi,
Göğüs Cerrahisi AD, KIRIKKALE
catinkaya@gmail.com

ÖZET Trakea ön duvar rezeksiyonunu takiben ksifoid kıkırdak, tiroid ala superior kıkırdığı ve auriküler kıkırdak otolog grafted materyalleri ile yapılan rekonstrüksiyonların doku uyumu açısından histolojik analizle karşılaştırmasıdır. Araştırmada 15 haftalık 30 adet erkek Yeni Zelanda tavşanı kullanıldı. Tavşanların trakeasının anterior bölümünde yaklaşık 1 cm²lik defekt oluşturuldu. Bu defektlerin 10 tanesi ksifoid kıkırdak, 10 tanesi tiroid ala superior kıkırdığı ve geri kalan 10 tanesi ise auriküler kıkırdak otolog graftleri ile tamir edilerek üç grup oluşturuldu. Her gruptan birer tavşan ameliyattan sonra dördüncü ve sekizinci haftada sakrifise edilerek, uygulanan graftlerin histolojik analizleri yapıldı. Her materyalde histolojik parametrelerden enflamasyon, kıkırdak proliferasyonu, kıkırdak rezorsyonu, graft canlılığı, epithelizasyon, çevre doku yabancı cisim reaksiyonu, mikroabcess ve prolapsus gelişimi değerlendirildi. Her üç grafted arasında kıkırdak proliferasyonu en az tiroid ala superior kıkırdığı graftede olduğu gözlandı ($p=0,032$). Graft canlılığının en az ve kıkırdak rezorsyonunun ise maksimum olduğu kıkırdak grafted auriküler kıkırdak olarak saptandı ($p=0,015$). En iyi kıkırdak proliferasyonu ve grafted canlılığının ksifoid kıkırdak otolog graftede olduğu gözlandı ($p<0,05$). Enflamasyon auriküler kıkırdakta hiç yokken, ksifoid kıkırdak grafted ile tiroid ala superior kıkırdığı graftede benzer orandaydı ($p>0,05$). Auriküler kıkırdak grafted uygulanan hiçbir tavşanda ise enfiamasyon gözlenmedi. Tüm gruptarda epithelizasyon ve çeşitli derecelerde çevre doku yabancı cisim reaksiyonu gözleme de, tiroid ala superior kıkırdığı graftede daha fazla çevre doku yabancı cisim reaksiyonu saptandı ($p=0,016$). Ksifoid kıkırdak graftedin canlılığını uzun süre koruması, kıkırdak proliferasyonunun diğer kıkırdak graftlerine göre daha fazla ve kıkırdak rezorsyonunun ise daha az olması gibi nedenlerle trakea rekonstrüksiyonlarında tiroid ala superior kıkırdığı ve auriküler kıkırdak graftlerine göre daha iyi bir seçenek olduğu kararına varıldı.

Anahtar Kelimeler: Trakea, rekonstrüksiyon, auriküler kıkırdak, tiroid kıkırdak, ksifoid kıkırdak

ABSTRACT Following the anterior tracheal wall resection, a histological analysis was made to compare the utility of xiphoid cartilage, thyroid ala superior cartilage and auricular cartilage as autologous graft materials with respect to tissue compatibility in tracheal reconstruction. The study included 30 male New Zealand white rabbits of 15 weeks of age. An anterior tracheal defect of approximately 1 cm² was formed in all rabbits. The defect was repaired with xiphoid cartilage autografts in a group of 10 rabbits, with thyroid ala superior cartilage autografts in another group of 10 and with auricular cartilage autografts in the remaining group of 10 rabbits to form 3 different study groups. Five from each group were sacrificed in the postoperative fourth and eighth weeks and the grafts applied were investigated with a histological analysis. Histological parameters for comparison included inflammation, cartilage proliferation, cartilage resorption, graft viability, epithelialization, foreign body reaction in the peripheral tissues, microabcess formation and tendency for prolapsus. Among the three type of autologous graft materials, the thyroid ala superior cartilage was observed to show the lowest cartilage proliferation ($p=0,032$). The auricular cartilage was identified to yield the lowest graft viability and the highest cartilage resorption ($p=0,015$). The xiphoid cartilage was observed to have the best cartilage proliferation and graft viability ($p<0,05$). Although no inflammation was observed in auricular cartilage grafts, the rate of inflammation was similar in xiphoid cartilage and thyroid ala superior grafts ($p>0,05$). No evidence of inflammation was observed in rabbits with auricular grafting. Despite the fact that all groups showed epithelialization and various degrees of foreign body reaction in the peripheral tissues, the thyroid ala superior cartilage grafting was found to have the highest degree of foreign body reaction in the peripheral tissues ($p=0,016$). Due to qualities of maintaining cartilage graft viability for an extended period of time and sustaining higher degrees of cartilage proliferation besides lower degrees of cartilage resorption, the xiphoid cartilage grafting was assessed to serve as a better option in the tracheal reconstruction in comparison to its thyroid ala superior and auricular cartilage counterparts.

Key Words: Trachea, reconstruction, auricular cartilage, thyroid cartilage, xiphoid cartilage

GEREÇ VE YÖNTEMLER

MATERIAL

Trachea rekonstrüksiyonları için otolog doku, allograft, prostetik replasman ve bu uygulamaların kombinasyonunu içeren teknikler uygulansa da tracheaya en uygun greft henüz ortaya konamamıştır.¹ Bu greft materyallerinin arasında otolog greftlər; preoperatif hazırlık gerektirmemesi, greft reddinin minimal olması, diğer greftlere göre doku uyumunun daha iyi olması nedeniyle pratikte en çok tercih edilen materyaller arasındadır. Ancak otolog greftlər arasında da tracheaya en uyumlu doku grefti konusunda tartışmalar vardır.

Trachea rekonstrüksiyonlarında sık kullanılan otolog greft materyalleri tiroid ala superior kıkırdağı (TASK), aurikula kıkırdak (AK) grefti ve kostal kıkırdak greftləridir. Kullanılan her greftin avantajları ve dezavantajları vardır. Tiroid ala superior kıkırdak grefti, laringotrakeal stenozlarda aynı kesiden greft materyalinin alınma kolaylığı nedeniyle tercih edilmişdir. Ancak greftin alınması sırasında larinks perfore olabilir. Ayrıca yaşla birlikte kalsifiye olmaya eğilimli olduğundan kıkırdak materyalinin çıkarılması güç olabilmektedir. Auriküler kıkırdak ise sıklıkla kesi yerinde ağrıya ve rahatsızlık hissine neden olmaktadır.²⁻⁵ Ayrıca AK grefti ksifoid ve tiroid kıkırdak greftlərə göre daha esnek kıkırdak grubunda olması dolayısıyla kollapsa eğilim riski taşımaktadır. Kostal kıkırdak greftləri ise her ne kadar trachea epiteline uyum gösterse de kalsifikasiyona eğilim göstermesi, kesi yerinde ağrıya neden olması, greftin alınması için kas dokusunun çoğulukla kesilmesi gereksinimi gibi dezavantajları vardır.⁶ Bir başka otolog greft materyali olan ksifoid kıkırdağı (KK) ulaşmak için yapılan kesi ise insanlarda göğüs duvarında kas olmayan bir bölgədir ve ağrının minimal olması dolayısıyla avantajlarındanandır. Ayrıca kıkırdağın alınma işlemi basit ve kısa sürmektedir.

Bizim bilgilerimize göre, literatürde ksifoid kıkırdağın trachea rekonstrüksiyonlarında kullanıldığına dair çok az sayıda çalışma vardır. Bu nedenle, çalışmamızda trachea rekonstrüksiyonlarında nadir kullanılmış olan ksifoid kıkırdağın diğer iki kıkırdak (aurikula ve tiroid) greftləri ile greft canlılığı ve doku uyumu açısından histolojik analizle karşılaştırılması amaçlanmıştır.

Trachea rekonstrüksiyonu 15 haftalık 30 adet beyaz, erkek Yeni Zelanda tavşanlarında gerçekleştirildi. Ameliyat öncesi ağırlıkları ortalama 3,5 kg tavşanlar seçildi. Tüm hayvanlara Hayvan Kaynakları Laboratuvar Enstitüsü'nün "Laboratuvar Hayvanlarının Kullanımı ve Bakımı İçin Kılavuz" ilkeleri uygulandı. Çalışma Kırıkkale Üniversitesi Veterinerlik Fakültesi'nde gerçekleştirildi. Çalışmaya Kırıkkale Üniversitesi Tıp Fakültesi Etik Kurul Komitesi (KU No: 53-2005) onayı ile başlandı.

METHOD

Anestezi için her tavşana intramuscular ketamine hydrochloride 10 mg/kg (Ketalar, 50 mg/ml 10 mL, Pfizer Warner Lambert, İstanbul, Türkiye) ve intramuscular xylazine hydrochloride 5 mg/kg (Rompun 2%, 50 mL, Bayer, İstanbul, Türkiye) verildi. Steril koşullar operasyon süresince sürdürdü. Hayvanlar entübe edilmedi ve herhangi bir oksijen desteği gerekmeye. Prone pozisyonda, Cotton ve ark.'nın⁵ yöntemi kullanılarak 12x12 mm'lik auriküler kıkırdak grefti sağ kulak tüyleri traşlanarak povidone-iodine solüsyonu ve alkoller temizlenip alındı. Cilt insizyonu 3/0 Vicryl® ile kapatıldı. Tiroid ala superior kıkırdağı (TASK) için Jong ve ark.'nın² yöntemi kullanılarak vertikal kesi gerçekleştirildi. Sol tiroid laminasının superior bölümünden 12x12 mm'lik bir kıkırdak kesiti alındı. Her grefte ventral perikondrium tabakası korundu ve defekte göre şekillendirildi.

Ksifoid kıkırdak grefti için ksifoid üzerinden vertikal kesi uygulandı, cilt, cilt altı geçilerek ksifoidde ulaşıldı. Ksifoid çevresinden künt ve keskin dissekasyonla 12x12 mm'lik kesit alındı. Ventral veya lateral yüzeyinden perikondrium şekillendirildi. Cilt 3/0 Vicryl® ile kapatıldı.

Laringotrakeal rekonstrüksiyonlar için tanımlanan lokalizasyon üzerinden orta hatta vertikal kesi gerçekleştirildi. Sternohyoïd, sternotiroïd kasları orta hattan disseke edilerek krikoid ve trakeanın ikinci ve üçüncü kıkırdak halkasına ulaşıldı. Trachea anteriorunda yaklaşık 10x10 mm'lik 2 adet kıkırdak halka ve interkartilajinöz membranı içeren defekt gerçek-

leştirdi. Otolog greft materyalleri defektten biraz daha büyük şekilde kesilip şekillendirildikten sonra anastomoz gerçekleşene kadar %0.9'luk serum fizyolojik ile ıslatılmış gazlı bez içinde bekletildi. Perikondrium tabakası hava yolu lumenine bakacak biçimde 6-0 polypropilen® tek tek suture edildi. Strep kaslar orta hatta 3/0 Vicryl® ile tek tek suture edilerek kapatıldı. Boyun insizyonu 4-0 Vicryl® materyali ile anatomin planda kapatıldı. Postoperatif dönemde opere edilen tavşanlar izole edildi.

Trakeal rezeksiyonu takiben 10 tavşan auriküler kıkırdak grefti ile 10 tavşan ksifoid kıkırdak grefti ile kalan 10 tavşan ise TASK grefti ile rekonsütrükte edilerek 3 grup oluşturuldu. Tavşanlarda antibiyotiğe bağlı diyare olasılığının yüksek olması ve tedavisinde sıvı elektrolit dengesinin sürdürülmesi güç olduğu için profilaktik antibiyotik verilmemi. Parasetamol ağrı kesici olarak 300 mg/kg dört saatte bir içme sularına eklendi.

Dördüncü ve sekizinci haftada her gruptan beşer tavşan sakrifiye edildi. Sakrifasyonda ketamine hydrochloride 10 mg/kg (Ketalar, 50 mg/ml 10 mL, Pfizer Warner Lambert, İstanbul, Türkiye) uygulandıktan sonra Pentotal 200 mg (Thiopental Sodium for Injection, USP) intraperitoneal kullanıldı. Greft uygulanmış olan trachea ikinci ve üçüncü kıkırdak halkası seviyesinden, sirkümferensiye olaraq eksize edildi. Çarpraz kesitler alınarak kesitler hemotoksilen eozin boyası ile boyanıp histolojik analiz yapıldı.

HİSTOLOJİK PARAMETRELER

Her örnekte sekiz histolojik değişken hematoksiilen-eozin boyasıyla ışık mikroskobu altında 100 büyütme ile değerlendirildi. Histolojik analizde a) enflamatuar yanıt (yok=0, orta=1, yüksek=2), b) greft canlılığı (yok=0, orta=1, yüksek=2), c) kıkırdak proliferasyonu (yok=0, orta=1, yüksek=2), d) kıkırdak rezorbsiyonu (var=0, yok=1), e) epitelizasyon (var [+], yok [-]), b) greft canlılığı (yok=0, orta=1, yüksek=2), c) kıkırdak proliferasyonu (yok=0, orta=1, yüksek=2), d) kıkırdak rezorbsiyonu (var=0, yok=1), e) epitelizasyon (var (+), yok (-)), f) çevre doku yabancı cisim reaksiyonu (yok=0, orta=1, yüksek=1), g) mikroapse gelişimi (var=0, yok=1), h) prolapsus gelişimi (var=0, yok=1) parametreleri değerlendirildi (Tablo 1).

İSTATİSTİKSEL ANALİZ

Kategorik değişkenler Ki-kare ile değerlendirildi, sürekli değişkenler ise Kruskal-Wallis ve Mann-Whitney U testi ile karşılaştırıldı. P değeri 0,05'ten az ise anlamlı kabul edildi. Tüm istatistiksel analiz Sosyal Bilimler için İstatistik Paketi ile gerçekleştirildi (SPSS, version 12.0, Chicago, IL, USA).

BULGULAR

Deneklerin takip süresince solunum sıkıntısı olmadı. Otuz tavşan üzerinde histolojik analiz gerçekleştirildi.

HİSTOLOJİK ANALİZ SONUÇLARI

Gruplara ait histolojik analiz sonuçları Tablo 1'de gösterilmiştir.

Dördüncü haftada kıkırdak tipleri ile greft canlılığı arasında istatistiksel olarak ilişki gözlenmezken ($p>0,05$), sekizinci haftada greft canlılığında en iyi skorun KK greftinde olduğu saptandı ($p<0,05$) (Resim 1, 2). Kıkırdak proliferasyonu da en iyi KK greftinde gözlandı ($p=0,032$) (Resim 2). En az oranda kıkırdak proliferasyonu ise TASK greftinde mevcuttu (Resim 4). Ksifoid greftte kıkırdak rezorbsiyonu diğer greftlere göre daha azdı ($p=0,015$) (Resim 2). Kıkırdak rezorbsiyonu değerlendirildiğinde KK greftine göre AK ve TASK greftinde kıkırdak rezorbsiyonunun daha fazla olduğu gözlandı ($p=0,015$) (Resim 1-4).

KK greftinde ve TASK greftinde enfiamasyon benzer orandaydı. AK grefti uygulanan hiçbir tavşanda enfiamasyon gözlenmezken tüm AK grefti uygulanan tavşanlarda kıkırdak rezorbsiyonu mevcuttu (Resim 3). Epitelizasyon karşılaşıldığında ise tüm gruplarda epitelizasyon mevcuttu ve mikroapse mevcut değildi. Yine tüm gruplarda birbirine benzer şekilde çevre doku yabancı cisim reaksiyonu gözlene de TASK greftinde daha fazla çevre doku yabancı cisim reaksiyonu reaksiyonu gözlandı ($p=0,016$) (Resim 4). Prolapsusa eğilim açısından da greftler arasında belirgin farklılık saptanmadı ($p=0,310$).

TARTIŞMA

İyi klinik sonuçlar gözlenmesine rağmen larengotrakeal rekonstrüksiyonlarda greftlerin canlılığına

TABLO 1: Rekonstrüksiyonda kullanılan kıkırdak greftlerin histolojik analiz bulguları.

		E	KP	KR	GC	E	ÇDYCR	M	P
1	Tiroid 4 hf	1	1	+	1	+	1	-	+
2	Tiroid 4 hf	0	0	-	2	+	1	-	-
3	Tiroid 4 hf	0	2	+	2	+	0	-	-
4	Tiroid 4 hf	0	1	-	1	+	2	-	-
5	Tiroid 4 hf	0	2	+	1	+	1	-	-
6	Tiroid 8 hf	0	0	-	2	+	1	-	-
7	Tiroid 8 hf	0	0	+	0	+	2	-	-
8	Tiroid 8 hf	0	2	-	1	+	1	-	-
9	Tiroid 8 hf	2	0	+	0	+	2	-	-
10	Tiroid 8 hf	0	2	+	3	+	2	-	-
11	Ksifoid 4 hf	2	1	+	0	-	2	+	+
12	Ksifoid 4 hf	1	2	-	1	+	2	-	-
13	Ksifoid 4 hf	0	2	-	0	+	1	-	-
14	Ksifoid 4 hf	1	1	+	2	+	1	+	+
15	Ksifoid 4 hf	0	2	-	1	+	0	-	-
16	Ksifoid 8 hf	0	2	+	2	+	1	-	-
17	Ksifoid 8 hf	0	2	-	2	+	1	-	-
18	Ksifoid 8 hf	1	2	-	2	+	1	-	-
19	Ksifoid 8 hf	0	1	-	2	+	1	-	-
20	Ksifoid 8 hf	2	2	-	1	+	1	-	-
21	Aurikula 4 hf	2	2	+	1	+	2	-	-
22	Aurikula 4 hf	0	2	-	1	+	2	-	-
23	Aurikula 4 hf	1	0	+	1	+	1	-	-
24	Aurikula 4 hf	0	1	-	0	+	1	-	-
25	Aurikula 4 hf	0	2	+	0	+	1	-	-
26	Aurikula 8 hf	0	2	+	0	+	1	-	-
27	Aurikula 8 hf	0	1	+	0	+	1	-	-
28	Aurikula 8 hf	0	1	+	1	+	1	-	-
29	Aurikula 8 hf	0	0	+	0	+	1	-	-
30	Aurikula 8 hf	0	1	+	1	+	1	-	-

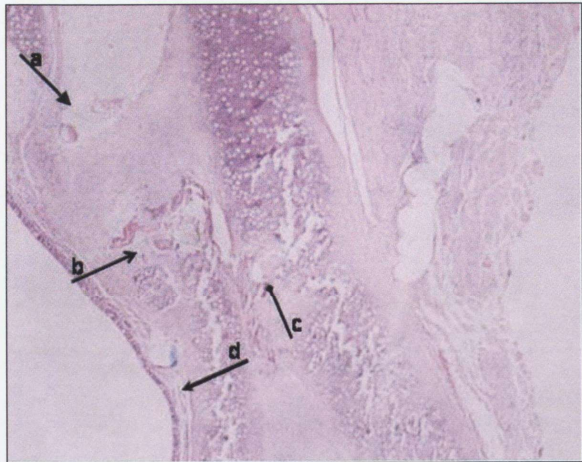
E: Enflamasyon, KP: Kartilaj proliferasyonu, KR: Kartilaj rezorbsiyonu, GC: Greft canlılığı, E: Epitelizasyon, ÇDYCR: Çevre doku yabancı cisim reaksiyonu, M: Mikroapse, P: Prolapsus, Hf: Hafta.

Patolojik değerlendirmede skorlama: yok=0, orta=1, yüksek=2, var (+), yok (-).

ve uyumuna ait sorunlar mevcuttur.⁷⁻⁹ Çeşitli teknikler; otolog doku, allogreft, prostetik replasman ve bu uygulamaların kombinasyonu gibi yöntemler günümüzde kadar denense de hiçbiri kesin teknik olarak kabul edilmemiştir.¹ Prostetik materyallerde enfeksiyon riski, vasküler erozyon ve greft reddi gözlenmekte, prostetik materyalle kaplı otolog greftlerde de aynı komplikasyonlara rastlanmaktadır. Yapılan çalışmalardaki en belirgin sorun revascularizasyonun gözlenmemesi ve konnektif doku uyumunun olmamasıdır.^{1,3} Yapılan çalışmalarda otolog greftlerin homolog greftlere göre kıkırdak greft canlılığını uzun süre koruduğu ve rezorbsiyona daha dayanıklı olduğu gösterilmiştir.^{6,7} Ideal bir

greft, trakea yapısına uyum sağlamalı, peroperatif ya da intraoperatif hazırlık gerektirmemeli, herhangi bir süreçte enflamatuar reaksiyonu minimal, lateralden rijid ancak longitudinal olarak elastik olmalı, greft havayolu lümenine uyum sağlamalı, yapışal rijiditeyi korumalı, lümen kollapsını önlemeli, enfeksiyon ve rezorbsiyona dirençli olmalıdır ve hızlı epitelize olmalıdır.^{2,6,10,11}

Larengotrakeal rekonstrüksiyonlarda kostal kıkırdaklar sık kullanılan greftlerdir.^{2,5,12} Ancak kostal kıkırdığın çıkarıldığı bölgede sıkılıkla göğüs duvarındaki kaslar kesilerek kıkırdak bölgesine ulaşıldığından postoperatorif dönemde ağrı geçmekte dir. Diğer gözlenen morbiditeler ise pnömotoraks,



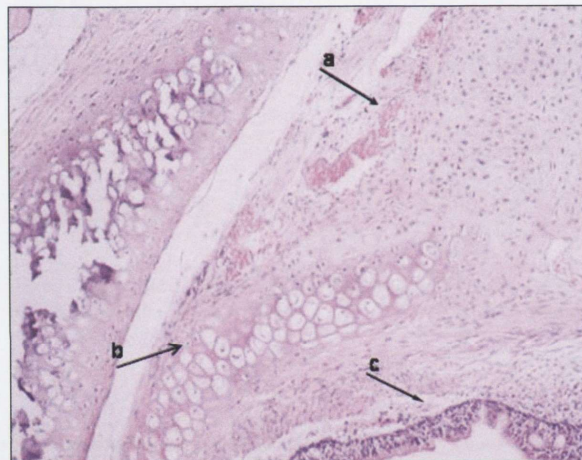
RESİM 1: Ksifoid dördüncü haftada; belirgin,kıkırdak proliferasyonu rezorbsiyon, minimal yabancı cisim reaksiyonu ve epitelizasyon gözlenmektedir (Hematoxylin-eosin; H-E, büyütme X 100).

- a. Kıkırdak proliferasyonu
- b. Rezorsiyon
- c. Epitelizasyon
- d. Yabancı cisim reaksiyonu.



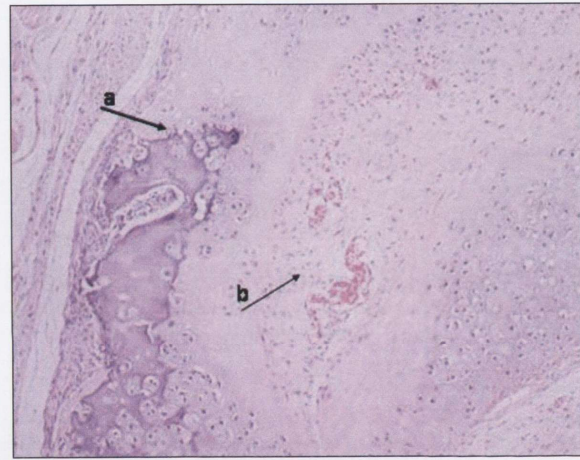
RESİM 2: Ksifoid sekizinci haftada; kıkırdak proliferasyonu ve epitelizasyon-daki artış gözlenmektedir (Hematoxylin-eosin; H-E, büyütme X 100).

- a. Kıkırdak proliferasyonu
- b. Rezorsiyon.



RESİM 3: Aurikula sekizinci haftada; kıkırdak proliferasyonu ve epitelizasyon birlikte kıkırdak rezorsiyonu gözlenmektedir (Hematoxylin-eosin; H-E, büyütme X 100).

- a. Kıkırdak proliferasyonu
- b. Kıkırdak rezorsiyonu
- c. Epitelizasyon.



RESİM 4: Tiroid sekizinci haftada; kıkırdak rezorsiyonu ve proliferasyon bir arada gözlenmektedir (Hematoxylin-eosin; H-E, büyütme X 100).

- a. Kıkırdak rezorsiyonu
- b. Kıkırdak proliferasyonu.

hematom, enfeksiyon ve bazen ağrıdan dolayı ateletazi ve pnömonidir.^{6,8,13} Ayrıca kostal kıkırdaklar da zamanla kalsifikasyona uğrayabilmektedir.⁶ Bu durum uzun dönemde trachea stenozlarına yol açmaktadır. Muotsouris ve ark.¹⁴ sirkümferensiyel trachea stenozlarında serbest periosteal kosta grefti kullanmış ve trachea lümenine bakan yüzeyde pleural yüzeyden dolayı uzun bir sürede osteogenezi-

sin gecitiğini göstermiştir. Çalışmamızda KK greftinde osteogenezi gecikmesi gözlenmemiştir. Ksifoid kıkırdak greftin minimal bir kesile alınma kolaylığı, rigid bir yapıya sahip olmasından dolayı kollaps eğiliminin minimal olması ve postoperatif rahatsızlık hissini diğer greft materyallerine göre daha az olması, TASK ve AK'a göre avantajlarındadır. Ksifoid kıkırdağının yaşla kalsifikasyona

uğraması da düşük orandadır. Ayrıca paryetal plevraya komşu olmaması nedeniyle pnömotoraks riski kosta kıkırdaklarına göre çok daha düşüktür. Dezavantajlarından birisi ise materyalin kostal kıkırdaklara göre daha az olmasıdır. Çalışmamızda KK uzun dönemde diğer greftlere göre en az enfiamasyon gösteren, greft canlılığının ve kıkırdak proliferasyonunun sekizinci haftada da devam ettiği ve bu süreçte kıkırdak rezorbsiyonunun en az olduğu kıkırdak grefti olarak gözlendi.

Larengotrakeal stenozlardaki rekonstrüksiyonlarda uzun süreli havayolu açılığı önemli bir başarı kriteridir.¹⁵ Yapılan çalışmalarda bronşiyal anastomoz hattında mikrovasküler sirkülasyonun tamamlanması ve komplet iyileşmenin gerçekleşmesi için dört ya da sekiz hafta gerekmektedir. Bazı çalışmalarda ise arteriyel sirkülasyon postoperatif 15. günde tamamlansa bile üç aya kadar komplet iyileşmenin hala tamamlanmadığı da gösterilmiştir.¹⁶ Bu nedenle trachea rekonstrüksiyonlarında greft iyileşmelerinin en az sekiz hafta gözlenmesi gerekmektedir. TASK grefti, Jong ve ark.² tarafından larengotrakeal rekonstrüksiyonlarda aynı kesiden alınma kolaylığı ve solunum sıkıntısı gözlenmemesi nedeniyle uygun bir greft olarak belirtildi de bu çalışmada kıkırdakların iyileşme süreci sekiz haftadan

kısalıdır. Strome ve ark.¹⁷ TASK greftinin anteriyorda postoperatif 3. ya da 4. haftada canlılığını koruyabildiğini göstermiştir. Ancak çalışmamızda dördüncü haftada TASK greft canlılığı devam ederken, sekizinci haftada ise kıkırdak rezorbsiyonu gözlenmiştir. Aurikula kıkırdak greftinde de sekizinci hafizada kıkırdak rezorbsiyonu ortaya çıkmıştır.

Lattyak ve ark.¹⁸ 14 tavşan üzerinde yaptıkları çalışmada kostal ve auriküler kıkırdığı karşılaştırmışlar ve auriküler kıkırdak greftinde kostal kıkırdığa göre daha fazla rezorbsiyon ve dejenerasyon olduğunu gözlemişlerdir. Ayrıca posterior yerleşimli greftlerde auriküler kıkırdakın daha fazla yer değiştirmeye eğilimli olduğu gösterilmiştir. Çalışmamızda auriküla greftinde yeni kıkırdak oluşumu ve greft canlılığı sekizinci haftada azalma gösterdi ve KK greftine göre kıkırdak rezorbsiyonu daha belirdindi.

Ksifoid kıkırdak greftinin canlılığını uzun süre koruması, kıkırdak proliferasyonunun diğer kıkırdak greftlerine göre daha fazla ve kıkırdak rezorbsiyonun ise daha az olması gibi nedenlerle trachea rekonstrüksiyonlarında tiroid ala superior kıkırdığı ve auriküler kıkırdak greftlerine göre daha iyi bir seçenek olduğu kanısına varıldı.

KAYNAKLAR

1. Kojima K, Vacanti CA. Generation of a tissue-engineered tracheal equivalent. *Biotechnol Appl Biochem* 2004;39:257-62.
2. Jong LA, Park AH, Raveh E, Schwartz MR, Forte V. Comparison thyroid, auricular, and costal cartilage donor sites for laryngotracheal reconstruction in animal model. *Arch Otolaryngol Head Neck Surg* 2000;126:49-53.
3. Brandariz JA, Grau M. Tracheal wall for the reconstruction of extended hemilaryngectomy in the rabbit model. *Otolaryngol Head Neck Surg* 2005;132:770-5.
4. Lusk RP, Kang DR, Muntz HR. Auricular cartilage grafts in laryngotracheal reconstruction. *Ann Otol Rhinol Laryngol* 1993;102:247-54.
5. Cotton RT. The problem of pediatric laryngotracheal stenosis: a clinical and experimental study on the efficacy of autogenous cartilaginous grafts placed between vertically divided halves of the posterior lamina of the cricoid cartilage. *Laryngoscope* 1991;101(pt 2 suppl 56):1-34.
6. Zalzal GH, Cotton RT, McAdams JA. Cartilage grafts-present status. *Head & Neck Surg* 1986;8:363-74.
7. Keskin GI, Oz F, Oz B, Oktem F, Gustafson M. Tracheal reconstruction using alcohol-stored homologous cartilage and autologous cartilage in the rabbit model. *Int J Pediatr Otorhinolaryngol* 2000;56:161-7.
8. Backer CL, Mavroudis C, Dunham ME, Holinger L. Intermediate-term results of the free tracheal autograft for long segment congenital tracheal stenosis. *J Pediatr Surg* 2000;35:813-9.
9. Backer CL, Mavroudis C, Dunham ME, Holinger LD. Repair of congenital tracheal stenosis with a free tracheal autograft. *J Thorac Cardiovasc Surg* 1998;115:869-74.
10. Dal T, Demirhan B. Reconstruction of tracheal defects with dehydrated human costal cartilage: An experimental study in rats. *Otolaryngol Head Neck Surg* 2000;123:607-12.
11. Cotton RT, Gray SD, Miller RP. Update of Cincinnati experience in pediatric laryngotracheal reconstruction. *Laryngoscope* 1989;99: 1111-6.
12. Wiatrak BJ, Albert DM, Holmes DK, Cotton RT. Cartilage graft epithelialization: a preliminary study using a goat model. *Arch Otolaryngol Head Neck Surg* 1993;119:777- 816.
13. Zalzal GH, Cotton RT, McAdams AJ. The survival of costal cartilage graft in laryngotracheal reconstruction. *Otolaryngol Head Neck Surg* 1986;94:204-11.
14. Moutsouris C, Karayannakos P, Kairis M, Dontas I, Skalkeas G. Reversed free periosteal grafting of extensive tracheal defects in dogs. *J Pediatr Surg* 1989;24:570-2.
15. Hoff PT, Esclamado RM. Use of revascularized, tubed costal myoperiosteal graft for repair of circumferential, segmental tracheal defects. *Otolaryngol Head Neck Surg* 1999; 120:706-12.
16. Balderman SC, Weinblatt G. Tracheal autograft revascularization. *J Thorac Cardiovasc Surg* 1987;94:434-41.
17. Strome M, Norris CM, Joseph MP, Brodsky G, Eavey RD. An assesment of grafts in the posterior cricoid lamina. *Laryngoscope* 1982;92: 1120-25.
18. Lattyak BV, Maas CS, Sykes JM. Dorsal onlay cartilage autografts: comparing resorption in a rabbit model. *Arch Facial Plast Surg* 2003;5:240-3.